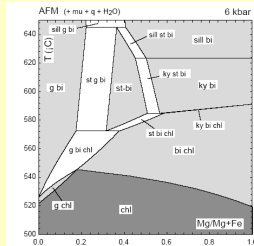


Petrologie G3021

5. Fázová petrologie



5. Fázová petrologie

Osnova:

- Zobrazení složení horninotvorných minerálů a minerálních asociací
- Petrogenetické mřížky
- T-X a P-X řezy
- Fázové pravidlo
- Metamorfnní reakce
- Anatexe
- Metasomatóza

1. Celkové chemické složení horniny (zjednodušené)

- kvarcity SiO_2
 - křemen-živcové horniny $\text{SiO}_2\text{-Al}_2\text{O}_3\text{-K}_2\text{O-Na}_2\text{O-CaO-H}_2\text{O}$
 - metapelitey $\text{SiO}_2\text{-Al}_2\text{O}_3\text{-K}_2\text{O-MgO-FeO-H}_2\text{O}$
 - metabazity $\text{SiO}_2\text{-Al}_2\text{O}_3\text{-Na}_2\text{O-MgO-FeO-H}_2\text{O}$
 - vápenatosilikátové horniny $\text{SiO}_2\text{-Al}_2\text{O}_3\text{-K}_2\text{O-CaO-MgO-H}_2\text{O}$
 - metakarbonáty $\text{MgO-CaO-SiO}_2\text{-CO}_2\text{-H}_2\text{O}$
 - ultramafity $\text{SiO}_2\text{-MgO-CaO-CO}_2\text{-H}_2\text{O}$
- jiné chemické systémy (méně časté)**
- cordierit-antofylitové horniny $\text{SiO}_2\text{-Al}_2\text{O}_3\text{-MgO-FeO-H}_2\text{O}$
 - železná formace $\text{SiO}_2\text{-FeO-Fe}_2\text{O}_3\text{-H}_2\text{O}$
 - manganolity, smirky
- jiná označení chemických systémů:**
- křemen-živcové horniny NASH, CASH a CKNASH
 - metapelitey KMASH, KFASH a KFMASH
 - ultramafity MS-H₂O-CO₂, CMS-H₂O-CO₂

Znárodnění chemického složení

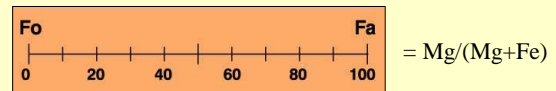
minerály – bodový chemismus z elektronové mikrosondy

- 1) váhová procenta kyslíčků/molekulová hmotnost = molekulární proporce (kvocienty)
- 2) počet atomů kovů na určitý počet atomů O = kvocient kovu x (počet at. O/suma kvocientů O) např. Slavík et al. (1972)

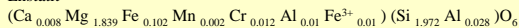
poměr počtu molů = molární zlomek

- En $\text{MgSiO}_3 = 1 \text{ MgO} + 1 \text{ SiO}_2$ součet molárních zlomků = 1
- Prp $\text{Mg}_3\text{Al}_2(\text{SiO}_4)_3 = 3\text{MgO} + 1\text{Al}_2\text{O}_3 + 3\text{SiO}_2$ $\text{MgO}/(\text{MgO}+\text{Al}_2\text{O}_3) = 1/1+1 = 0,5$
- $\text{MgO}/(\text{MgO}+\text{Al}_2\text{O}_3+\text{SiO}_2) = 3/7$
- $\text{Al}_2\text{O}_3/(\text{MgO}+\text{Al}_2\text{O}_3+\text{SiO}_2) = 1/7$

- dvoukomponentní systém znázorňující složení olivínu

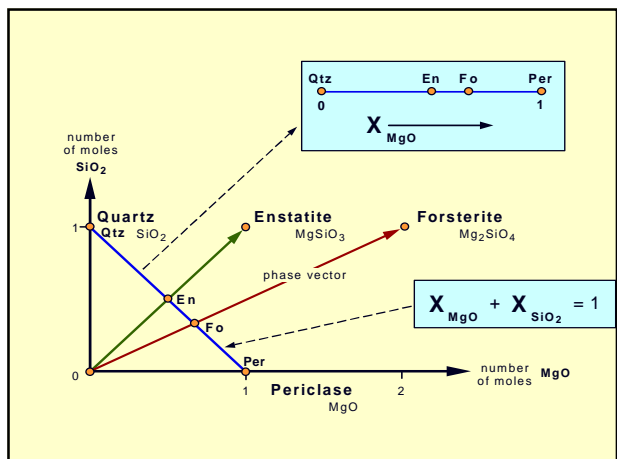


Enstatit



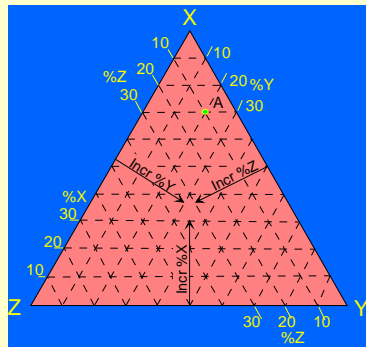
enstatit	Mg ₂ Si ₂ O ₆		
			na 6 O
SiO ₂	57,73	Si	1,972
TiO ₂	0,04	Al	0,028
Al ₂ O ₃	0,95	Al	0,01
Fe ₂ O ₃	0,42	Ti	0,001
Cr ₂ O ₃	0,46	Fe ³⁺	0,01
FeO	3,57	Cr	0,012
MnO	0,08	Mg	1,839
NiO	0,35	Ni	0,01
MgO	36,13	Fe ²⁺	0,102
CaO	0,23	Mn	0,002
Na ₂ O	-	Ca	0,008
K ₂ O	-	Na	-
H ₂ O+	0,52	K	-
H ₂ O-	0,04		
	100,52	Mg	93,9
		Fe	5,7
		Ca	0,4

$\text{Mg}/(\text{Mg}+\text{Fe}) = 0,94$
 $\text{Mg}/(\text{Mg}+\text{Si}) = 0,48$



Ternární diagramy

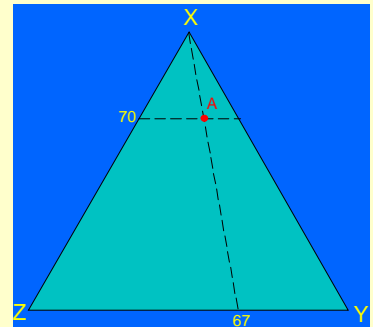
Jak vynést hodnoty do ternárního diagramu:
 a) zdrojová data XYZ normalizujeme na 100%
 b) vynese do diagramu:
 Metoda č. 1 : 70% X, 20% Y, a 10% Z



Převzato z An Introduction to Igneous and Metamorphic Petrology, John Winter, Prentice Hall.

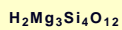
Metoda č. 2 : pro komponenty
 70% X, 20% Y, a 10% Z

Postup:
 $10 + 20 = 30 = 100\%$
 $Y = 20 = 67\%$
 $Z = 10 = 33\%$



Převzato z An Introduction to Igneous and Metamorphic Petrology, John Winter, Prentice Hall.

Talc

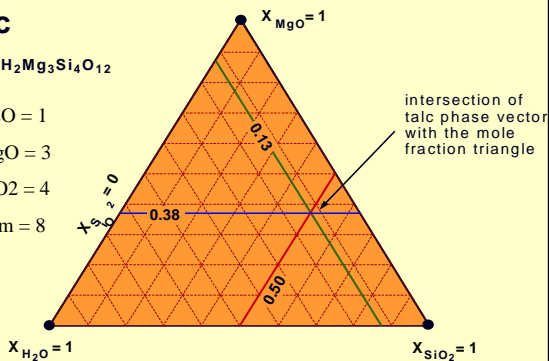


H₂O = 1

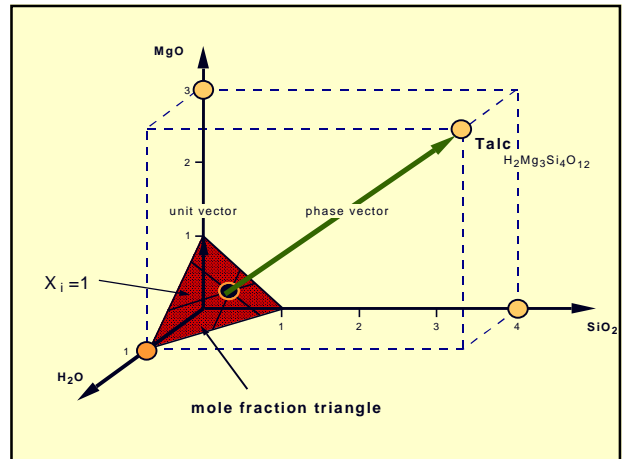
MgO = 3

SiO₂ = 4

Sum = 8

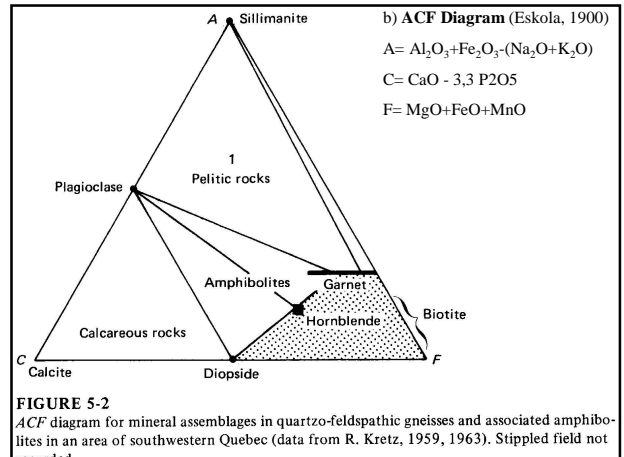
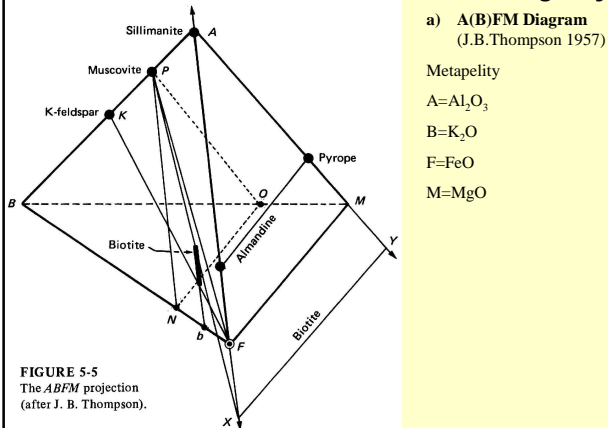


intersection of talc phase vector with the mole fraction triangle



mole fraction triangle

Běžně užívané ternární diagramy



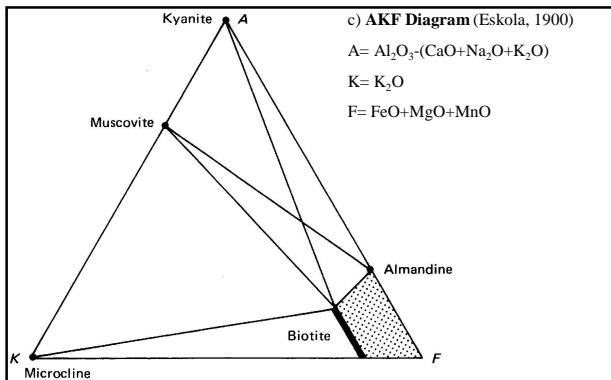


FIGURE 5-3
 AKF diagram for quartz-bearing pelitic rocks of the kyanite zone in Glen Urquhart, northeastern Scotland. Data (from G. N. Francis, 1964) correspond to triangle 1 in Fig. 5-1. Stippled field not represented.

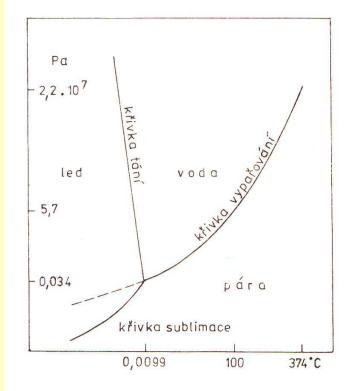
Fázové pravidlo

system	↔	fáze (Phase)	↔	ložka (Component)
↓		↓		↓
hornina		minerál (s, l, g)		e.g. Al_2O_3

- system** (hornina)
 uzavřený - přes hranice systému může být přemísťována energie ale ne hmota
 otevřený - hmota a energie mohou být přemísťovány přes hranice systému
fáze - fyzikálně oddělitelné části systému (pevné - minerál, kapalné, plynné)
ložky (komponenty) - části systému nutné k vytvoření fází, které chceme v systému uvažovat
 - z hlediska fáz. pravidla - nejmenší počet chemických jednotek potřebný k popisu složení uvažovaných fází
 - hlavní složky více než jedné fáze (SiO_2 , Al_2O_3 , Cr_2O_3 , Fe_2O_3 , FeO , MgO , K_2O , Na_2O , CaO , MnO , P_2O_5 , H_2O)

- rovnováha** – nejstabilnější uspořádání atomů v systému, nastává když je systém v určitých P-T podmínkách dostatečně dlouhou dobu
- rovnovážná asociace – počet minerálů které mohou existovat stabilně v rovnováze určen **fázovým pravidlem**
- $F = P - C + 2$
- F – počet nezávislých stupňů volnosti čili počet **nezávisle proměnných** (lze je nezávisle měnit aniž by se měnila stabilita minerálních fází v systému)
- fáze** – minerál (P)
- složky** – oxidy (C)
- proměnné **P, T, X** (chemické složení fází)
- při změně P či T – koexistující fáze již nejsou v rovnováze ⇒ **metamorfní reakce**

Příklad použití fázového pravidla



Příklad

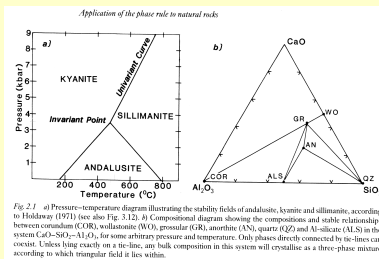
$F = C + 2 - P$
 $C = 1 (H_2O)$

A
 P = 1 – voda
 F = 2 – dva stupně volnosti,
 Je zde stabilní jen jedna fáze voda teplota i tlak se mohou měnit nezávisle.

B
 Bod B leží na hranici mezi dvěma poli
 P = 2 – Led a pára,
 F = 1 – jeden stupeň volnosti
 Jestliže se změnil tlak změnil se zároveň teplota

T
 P = 3 – voda, pára a led
 F = 0 – žádný stupeň volnosti
 Všechny tři fáze jsou v rovnováze (equilibrium). Jestliže se změnil jedna z proměnných systém se posune mimo bod T

- znázornění – P-T diagramy**
- počet stupňů volnosti**
- divariantní pole 2
- univariantní křivka 1
- invariantní bod 0

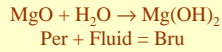


důsledek fázového pravidla: minerální asociace s **velkým počtem fází** bude mít jen **málo stupňů volnosti**, tedy rozsah podmínek za nichž krystalizovala bude přesněji omezen a bude snadnější jej určit na základě výsledků experimentů

Fázové pravidlo v metamorfovaných horninách

Máme jednoduchý systém (C=2), MgO-H₂O

- V systému mohou vznikat tyto fáze periklas (MgO), voda (H₂O), a brucit (Mg(OH)₂)
- může zde proběhnout tato reakce:

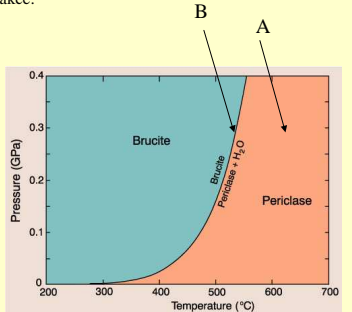


Jde o retrogradní reakci, protože se teplota snižuje a hornina hydratuje.

$$F (T, P, X) = C + 2 - P$$

A) Per + H₂O = 2 = 2+2-2

B) Per + H₂O + Bru = 1 = 2+2-3



Winter (2001). An Introduction to Igneous and Metamorphic Petrology, Prentice Hall.

Petrogenetické mřížky - definice

- shrnutí možných invariantních bodů a mezi nimi ležících reakcí v určeném chemickém systému
- založeny na experimentech, nebo termodynamické výpočty
- možnost umístění zjištěných minerálních asociací do specifických P-T polí
- lze sledovat vývoj horniny v P-T dle pozice pozorovaných reakcí
- důležité je celkové složení hornin

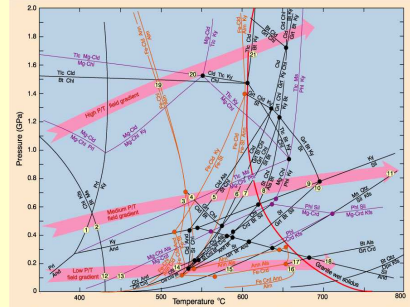
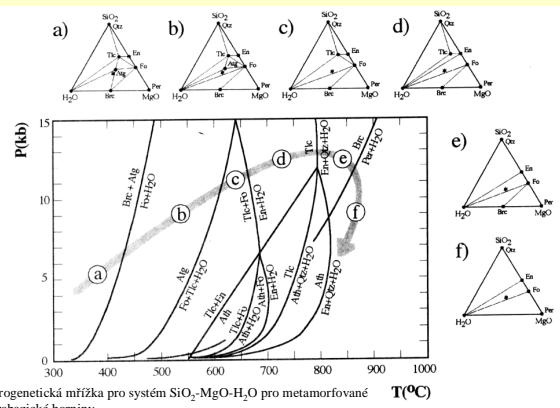


Figure 8.2. Petrogenetic grid for the system KFMASH. The P-T changes in time represent the system KFMASH and points across represent the system KFMASH. Reactions are not labeled, but commonly have the labels: Tr, Chl, Bt, Gr, Sill, An, Pl, Kfs, Hbl, Cpx, Opx, Qtz, and some which are considered to be present in excess. Typical high, medium, and low P-T metamorphic field positions are represented by small pink arrows. After Foster and Cheney (1989), and Foster (1986).

Rocks as Chemical Systems

rock type	system	system acronym
quartzite	SiO ₂	S
quartzite	SiO ₂ - H ₂ O	SH
metabauxite	Al ₂ O ₃ - H ₂ O	AH
iron formation	FeO - SiO ₂ - H ₂ O	FSH
siliceous bauxite	Al ₂ O ₃ - SiO ₂ - H ₂ O	ASH
metaperidotite	MgO - SiO ₂ - H ₂ O	MSH
haplogranite	KAlSi ₃ O ₈ - NaAlSi ₃ O ₈ - SiO ₂	KNASH
iron formation	FeO - SiO ₂ - H ₂ O - O ₂	FSHO
carbonated BIF	FeO - SiO ₂ - CO ₂ - H ₂ O	FSCH
limestone	CaO - SiO ₂ - CO ₂ - H ₂ O	CSCH
whiteschist	MgO - Al ₂ O ₃ - SiO ₂ - H ₂ O	MASH
metabauxite	K ₂ O - Al ₂ O ₃ - SiO ₂ - H ₂ O	KASH
dry metaperidotite	CaO - MgO - Al ₂ O ₃ - SiO ₂	CMASH
haplogranite	KAlSi ₃ O ₈ - NaAlSi ₃ O ₈ - SiO ₂ - H ₂ O	KNASH
metagranite	K ₂ O - Na ₂ O - Al ₂ O ₃ - SiO ₂ - H ₂ O	KNASH
dry metabasalt	CaO - FeO - MgO - Al ₂ O ₃ - SiO ₂	CMFAS
siliceous dolomite	CaO - MgO - SiO ₂ - CO ₂ - H ₂ O	CMSCH
haplopelite	K ₂ O - FeO - Al ₂ O ₃ - SiO ₂ - H ₂ O	KMASH
metaperidotite	CaO - MgO - Al ₂ O ₃ - SiO ₂ - H ₂ O	CMASH
metabauxite	K ₂ O - Na ₂ O - Al ₂ O ₃ - SiO ₂ - H ₂ O	KASH
metapelite	K ₂ O - FeO - MgO - Al ₂ O ₃ - SiO ₂ - H ₂ O	KFMASH
metagranite	K ₂ O - Na ₂ O - Al ₂ O ₃ - SiO ₂ - H ₂ O	KNASH
haplo-amphibolite	CaO - FeO - MgO - Al ₂ O ₃ - SiO ₂ - H ₂ O	CFMASH
amphibolite	Na ₂ O - CaO - FeO - MgO - Al ₂ O ₃ - SiO ₂ - H ₂ O	NCFMASH
most rocks	K ₂ O - Na ₂ O - CaO - FeO - MgO - Al ₂ O ₃ - SiO ₂ - CO ₂ - H ₂ O - O ₂	

Celkové složení horniny a petrogenetická mřížka



petrogenetická mřížka pro systém SiO₂-MgO-H₂O pro metamorfované ultrabazické horniny

ACF diagram

ACF diagram se užívá pro bazické horniny

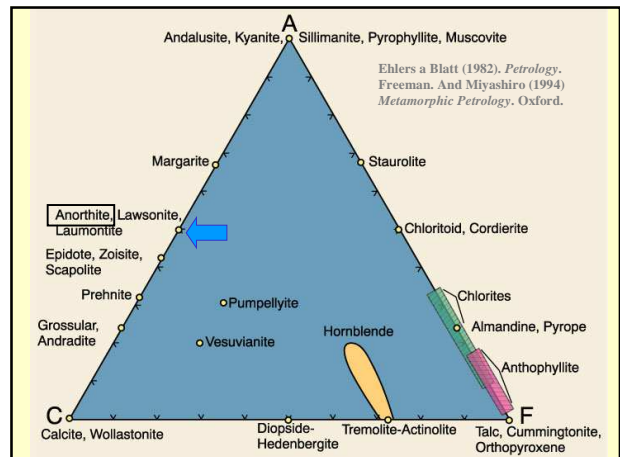
Váhová procenta jsou převedena na molární ekvivalenty. Provedou se korekce na minerály s kterými se v diagramu nepočítá (apatit, titanit, ilmenit). Tyto korekce nemají na výsledek podstatnější vliv:

$$A = \text{Al}_2\text{O}_3 + \text{Fe}_2\text{O}_3 - \text{Na}_2\text{O} - \text{K}_2\text{O}$$

$$C = \text{CaO} - 3,3 \text{P}_2\text{O}_5$$

$$F = \text{FeO} + \text{MgO} + \text{MnO}$$

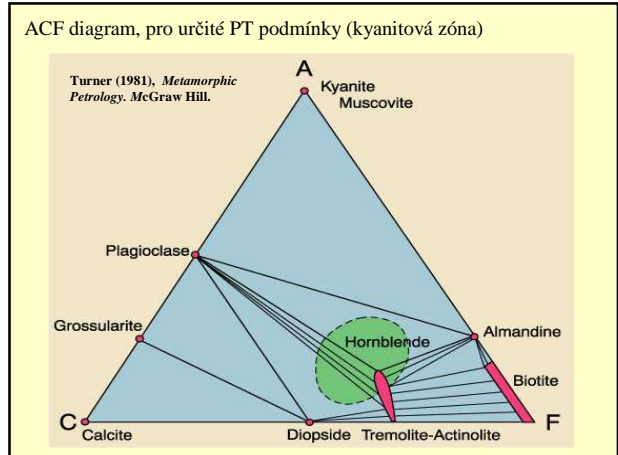
- Při vynášení koncových členů minerálů postupujeme takto:
- Anortit CaAl₂Si₂O₈
- A = 1 + 0 - 0 - 0 = 1, C = 1 - 0 = 1, F = 0
- celkem 2 ⇒ provedeme normalizaci na 1 a výsledkem pak je:
 - A = 0.5
 - C = 0.5
 - F = 0



Ehlers a Blatt (1982). Petrology. Freeman. And Miyashiro (1994) Metamorphic Petrology. Oxford.

amfibolit	hm %	molekulová	molekulární		
	(wt %)	hmotnost	kvocient	A,C,F	
SiO ₂	48,09	60	0,8		
TiO ₂	1,57	80	0,02		
Al ₂ O ₃	15,16	75	0,2	0,22-0,05	A=26
Fe ₂ O ₃	2,92	160	0,02		
FeO	9,22	72	0,13	0,31	B=47
MnO	0,21	71	0		
MgO	7,24	40	0,18		
CaO	10,35	56	0,18	0,18	C=27
Na ₂ O	2,65	62	0,04		
K ₂ O	0,93	94	0,01		
H ₂ O+	1,44				
H ₂ O-	0,24				
P ₂ O ₅	0,22	142	0		
CO ₂	-				
Suma	99,74				100

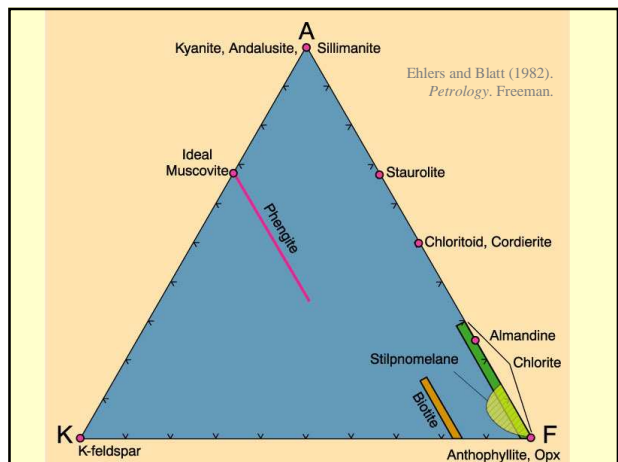
- 1) horniny – celkový chemismus ze silikátové analýzy
- korekce 1. - odpočet FeO, Fe₂O₃, CaO v akcesoriích (Mt, Ilm, Ttn)
- 2) váhová procenta kyslíčků / molekulární hmotnost = molekulární proporce (kvocienty)
- korekce 2. – odpočet 3,3 x P₂O₅ (Apa) od CaO a Na₂O+K₂O od Al₂O₃+Fe₂O₃



AKF diagram

Protože **pelitické** sedimenty mají vysoké obsahy Al₂O₃, K₂O, a naopak nízké obsahy CaO navrhl Eskola diagram který K₂O obsahuje AKF

A = Al₂O₃ + Fe₂O₃ - Na₂O - K₂O - CaO
 K = K₂O
 F = FeO + MgO + MnO

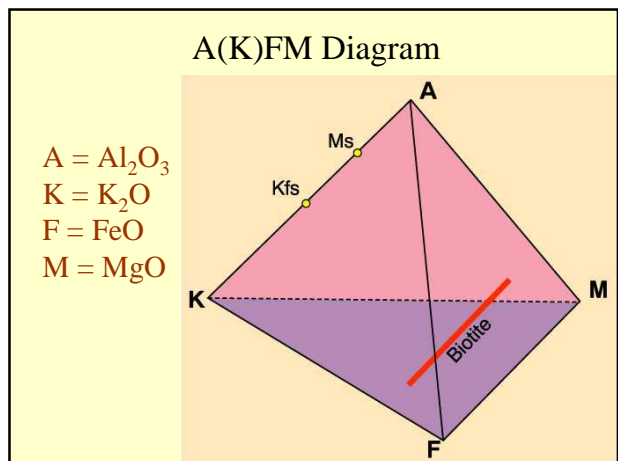


Zobrazení čtyř-komponentního systému

V systému ABCQ zobrazíme složky:

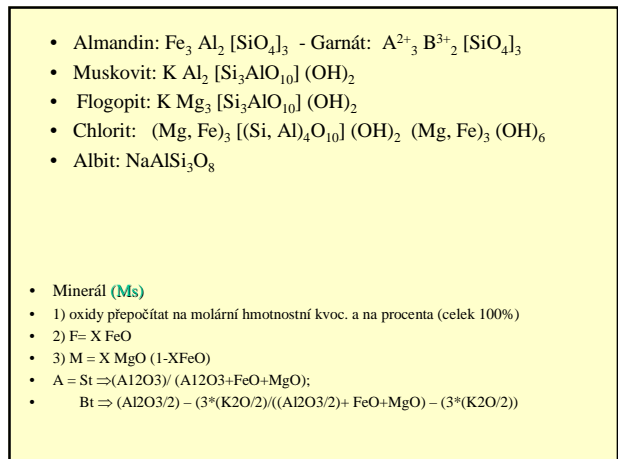
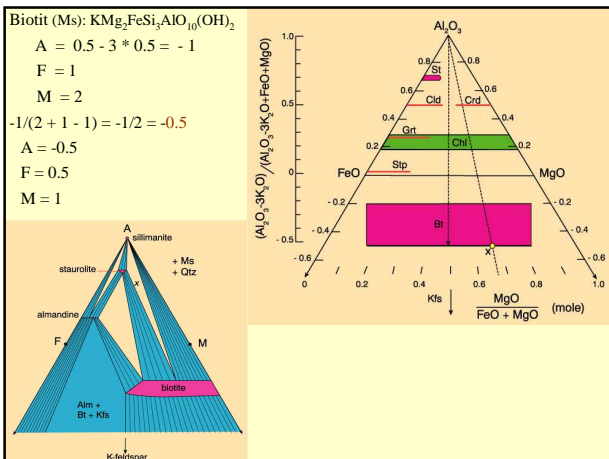
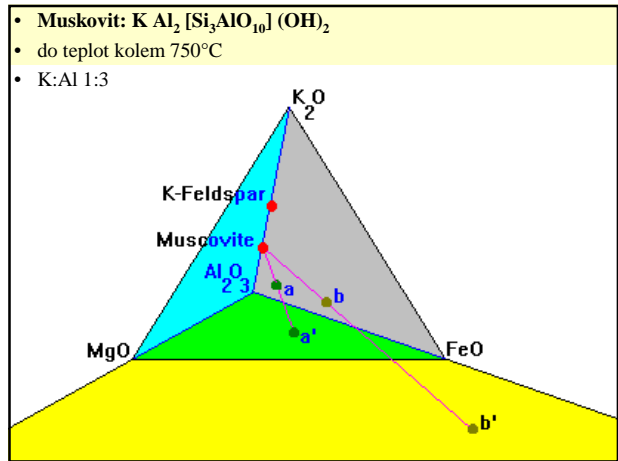
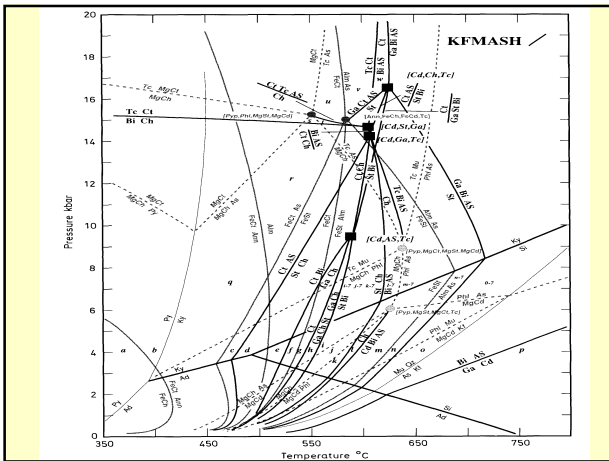
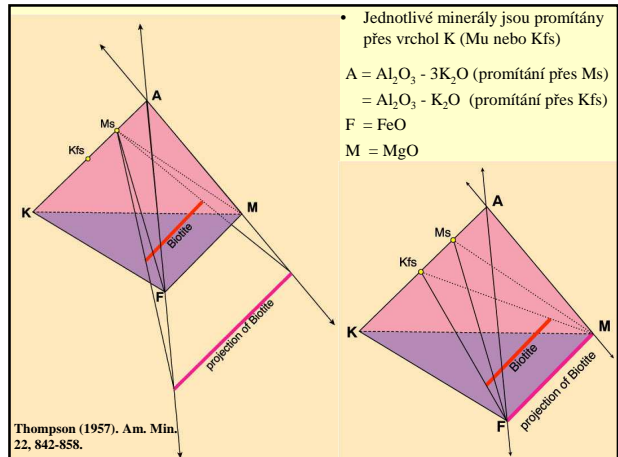
- X (ABCQ)
- Y (A₂B₂CQ)

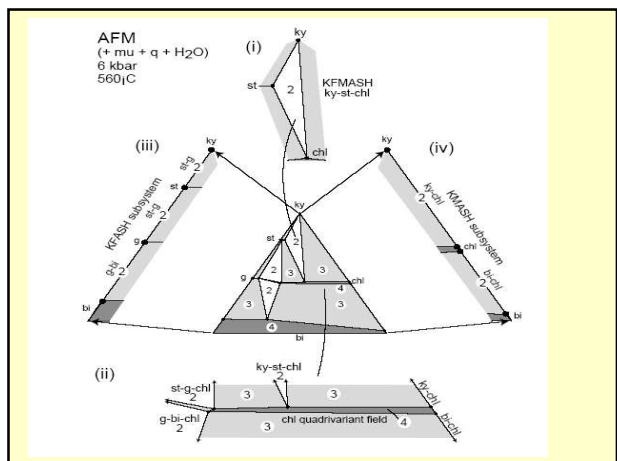
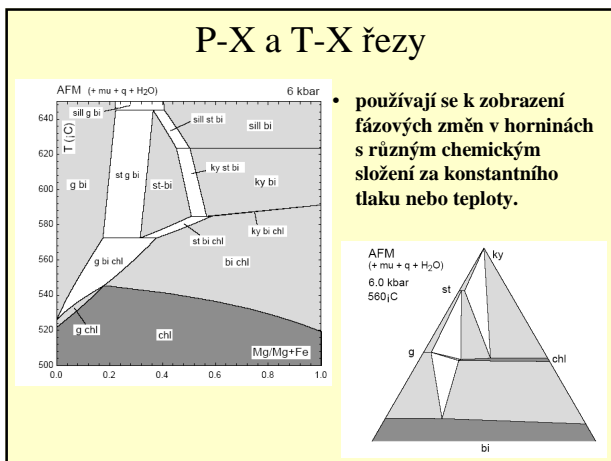
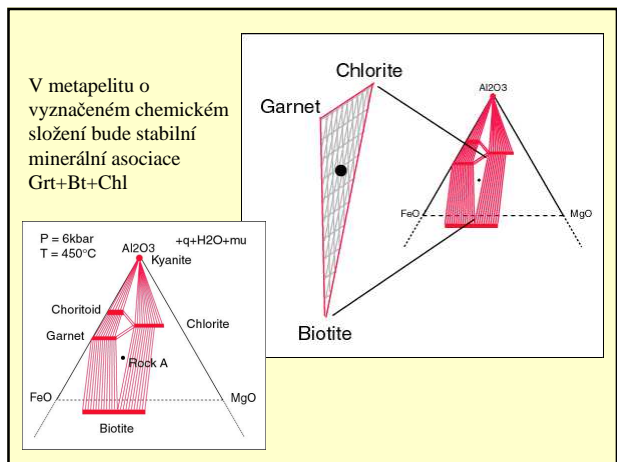
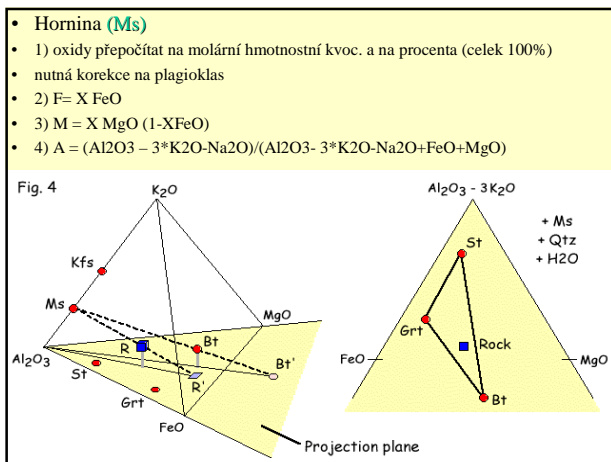
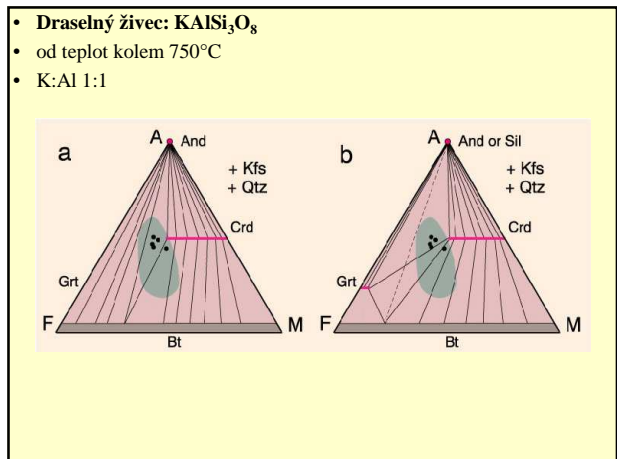
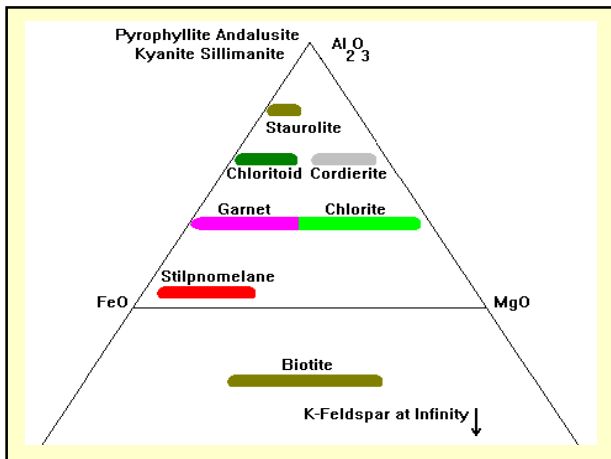
Winter (2001) An Introduction to Igneous and Metamorphic Petrology, Prentice Hall.



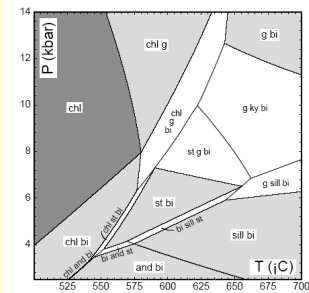
Minerály

- V metapelitech 3 min. obsahují K₂O (Ms, Bt, Kfs)
- Almandin: Fe₃ Al₂ [SiO₄]₃ - Granát: A²⁺₃ B³⁺₂ [SiO₄]₃
- Muskovit: K Al₂ [Si₃AlO₁₀] (OH)₂
- Flogopit: K Mg₃ [Si₃AlO₁₀] (OH)₂
- Chlorit: (Mg, Fe)₃ [(Si, Al)₄O₁₀] (OH)₂ (Mg, Fe)₃ (OH)₆
- Albit: NaAlSi₃O₈
- Draselný živec: KAlSi₃O₈





PT řezu (pseudosekce)



- PT řezu jsou PT diagramy konstruovány pro určité chemické složení systému (horniny)
- PT řezu zobrazují pole stability minerálních asociací, které v dané hornině o daném chemickém složení skutečně probíhají systém

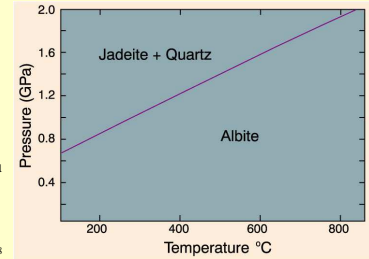
• Petrogenetické mřížky totiž zobrazují pouze univariantní reakce a prostor mezi nimi je reprezentován teoretickými poli stability odpovídajících divariantních minerálních asociací.

I. Metamorfní reakce

A) Diskontinuální

Univariantní reakce

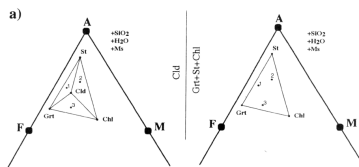
zánik minerálu nebo minerální asociace a krystalizace nové stabilizace nové rovnováha reaktantů a produktů jen na univariantní křivce



- $\text{NaAlSi}_3\text{O}_6 + \text{SiO}_2 = \text{NaAlSi}_3\text{O}_8$
Jd Qtz Ab
- $\text{MgSiO}_3 + \text{CaAl}_2\text{Si}_2\text{O}_8 = \text{CaMgSi}_2\text{O}_6 + \text{Al}_2\text{SiO}_5$
En An Bt And
- $4(\text{Mg,Fe})\text{SiO}_3 + \text{CaAl}_2\text{Si}_2\text{O}_8 = (\text{Mg,Fe})_3\text{Al}_2\text{Si}_3\text{O}_{12} + \text{Ca}(\text{Mg,Fe})\text{Si}_2\text{O}_6 + \text{SiO}_2$
- Opx Plag Grt Cpx Qtz

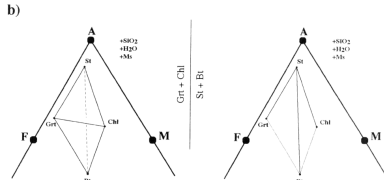
terminálová reakce

reaktant či produkt 1 fáze (1 fáze zmizí nebo se v systému naopak objeví)



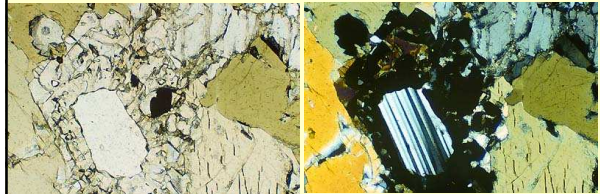
křížení spojovacích linií

reaktant a produkt 2 fáze

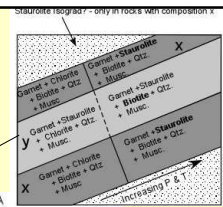
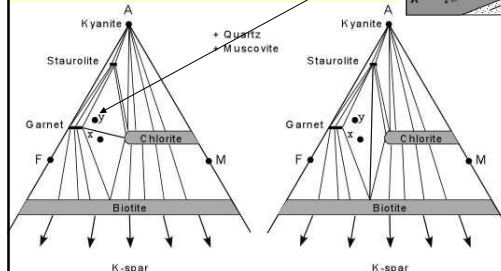
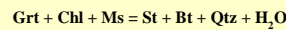
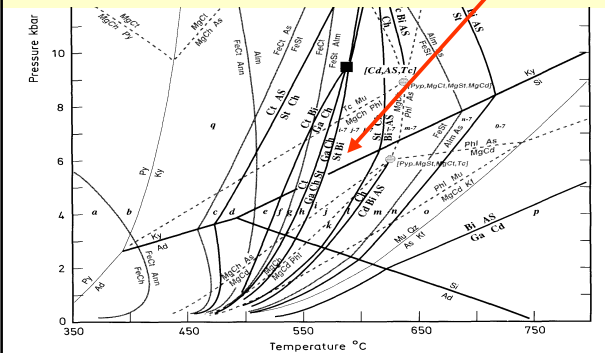
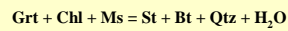


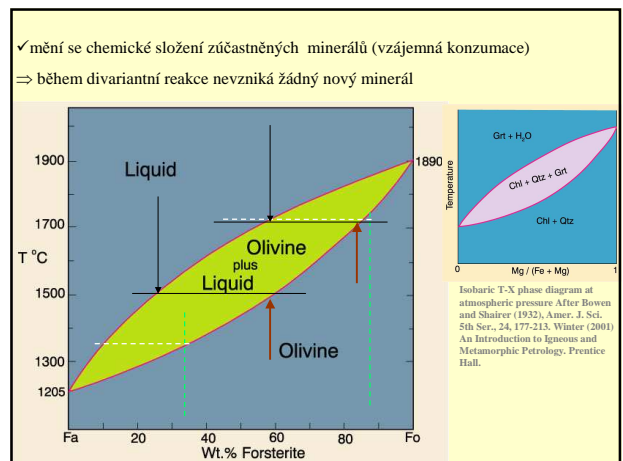
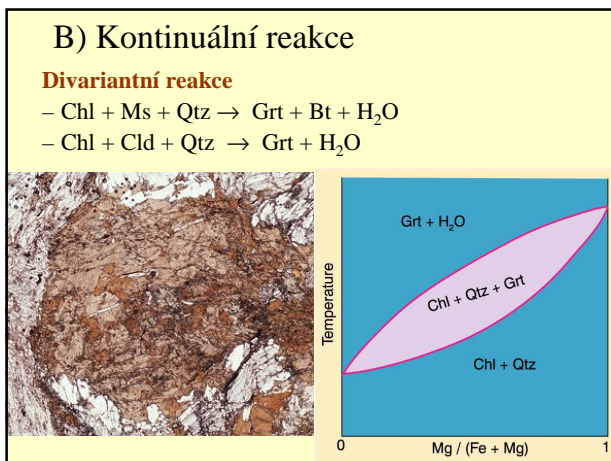
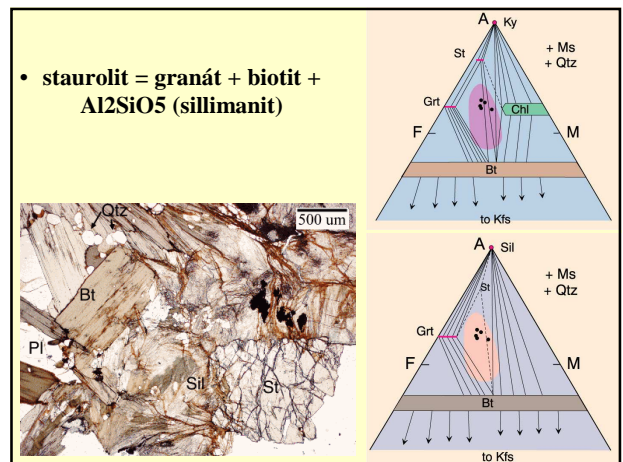
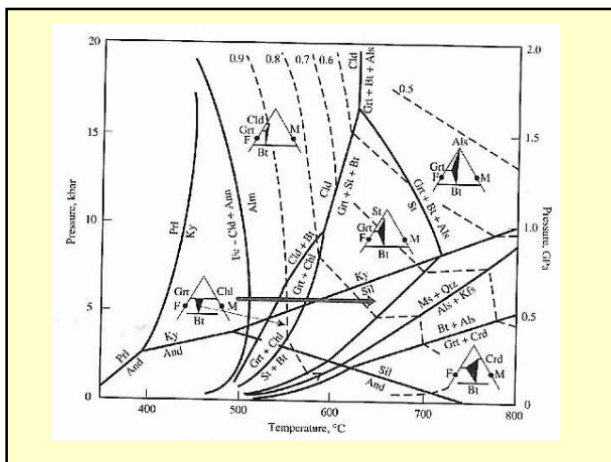
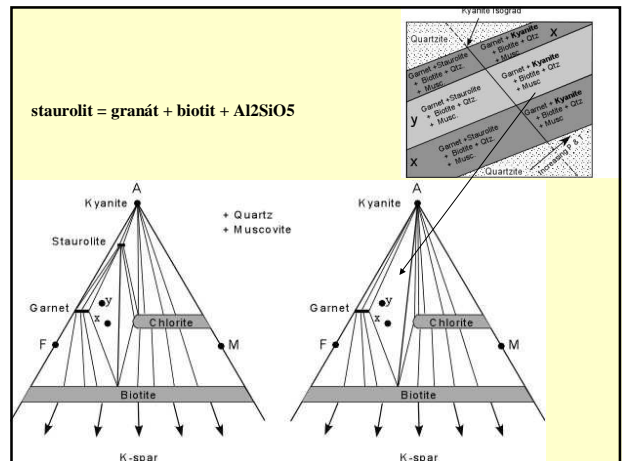
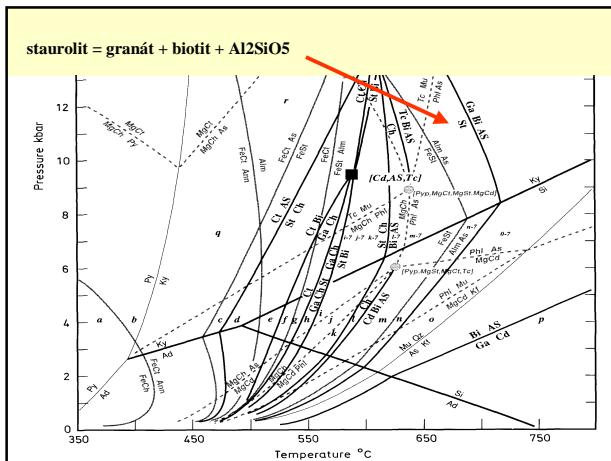
Reakční koróny

- vznikají kolem minerálů, které jsou v minerální asociaci dané horniny nestabilní. Právě koróna uchránila tento minerál před přeměnou.

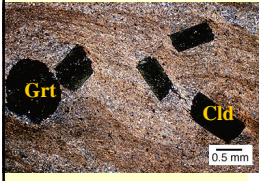
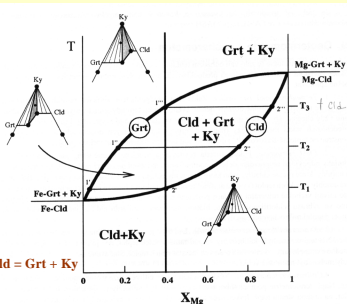


- 1) Koróna vznikla mezi plagioklasem a amfiboly obklopujícími plagioklasové zrno. Rovnoběžné a zkrřížené nikoly

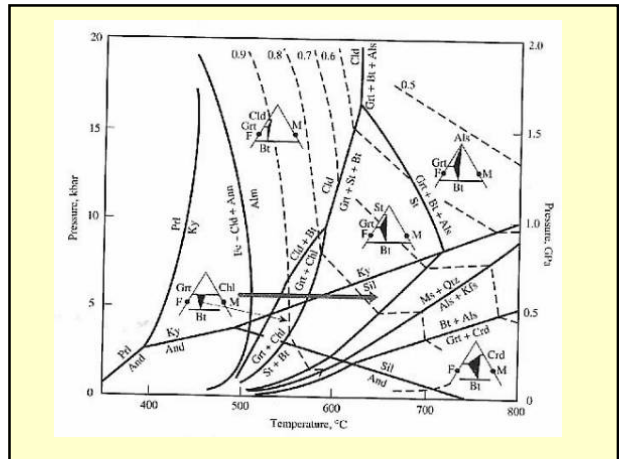
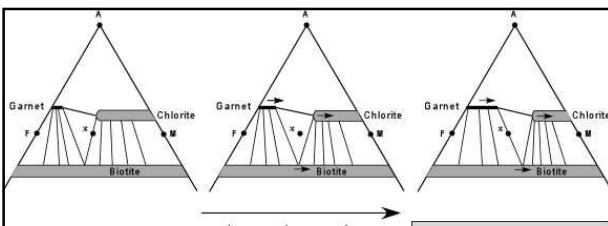




kontinuální reakce - nejčastější substituce $FeMg_{-1}$
 posun dílčích trojúhelníků s měněními se P-T podmínkami k vrcholu F či M
 $X_{Mg} = Mg/(Mg+Fe)$ pro minerály různé (různá preference v různých mřížkách)
 $X_{Mg}^{Crd} > X_{Mg}^{Chl} > X_{Mg}^{Bt} > X_{Mg}^{Cld} > X_{Mg}^{St} > X_{Mg}^{Grt}$
 (viz pozice v AFM)

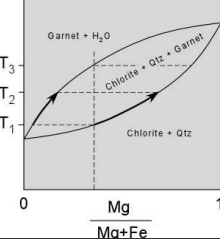



T- X_{Mg} diagram pro kontinuální reakci $Cld = Grt + Ky$

Increasing grade

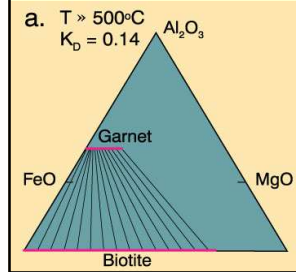
- Hornina má složení: $Qtz + Ms + Bt + Chl$
- $Chl + Qtz \Rightarrow Grt + Mg\text{-}Chlorit + H_2O$



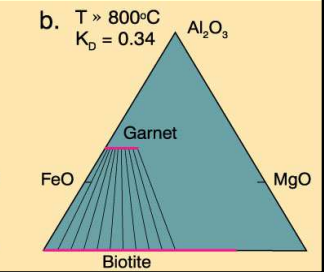
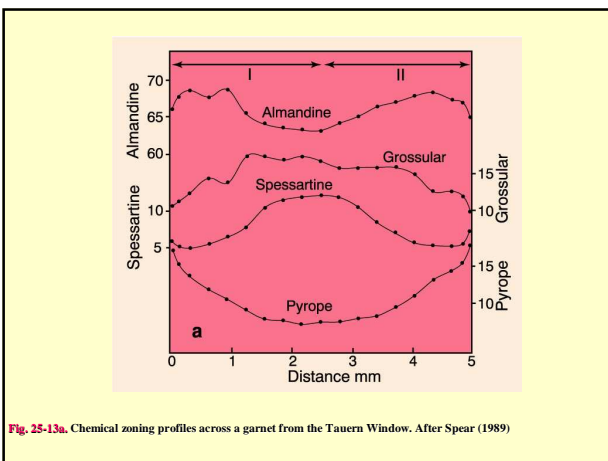
$MgSiO_3 + CaFeSi_2O_6 = FeSiO_3 + CaMgSi_2O_6$
Annite + Pyrope = Phlogopite + Almandine

- Mg-Fe substituce
- oba minerály mají Mg a Fe komponentu \Rightarrow geotermometry

a. $T \gg 500^\circ C$, $K_D = 0.14$



b. $T \gg 800^\circ C$, $K_D = 0.34$

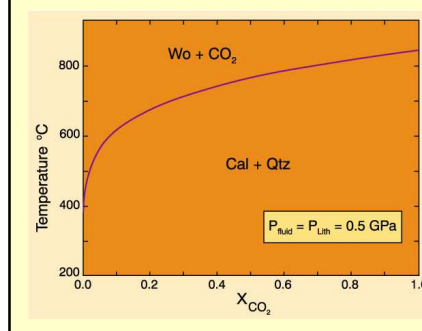



C) Devolatilizační reakce
 (dehydratační a dekarbonační reakce)

- pro většinu hornin postačuje systém H_2O-CO_2

Pro karbonátové horniny jsou důležité dekarbonační reakce

$CaCO_3 + SiO_2 = CaSiO_3 + CO_2$

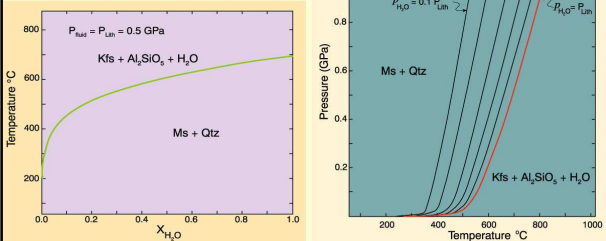


$P_{fluid} = P_{Lith} = 0.5 \text{ GPa}$

• **dehydratační reakce (typická pro metapelitey):**

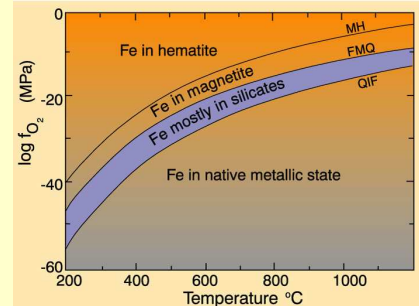
- $KAl_2Si_2AlO_{10}(OH)_2 + SiO_2 = KAlSi_3O_8 + Al_2SiO_5 + H_2O$
Ms Qtz Kfs Sill W
- závisí na parciálním tlaku H₂O (p_{H_2O})
- H₂O-CO₂ system [$X_{H_2O} = H_2O/(H_2O + CO_2)$]
- fluidní fáze může obsahovat také další podstatné složky (F, Cl, B)

S poklesem obsahu x H₂O je reakce tlačena do nižších teplot



D) Oxidačně – redukční reakce

- $6 Fe_2O_3 = 4 Fe_3O_4 + O_2$ (MH)
- $2 Fe_3O_4 + 3 SiO_2 = 3 Fe_2SiO_4 + O_2$ (FMQ)

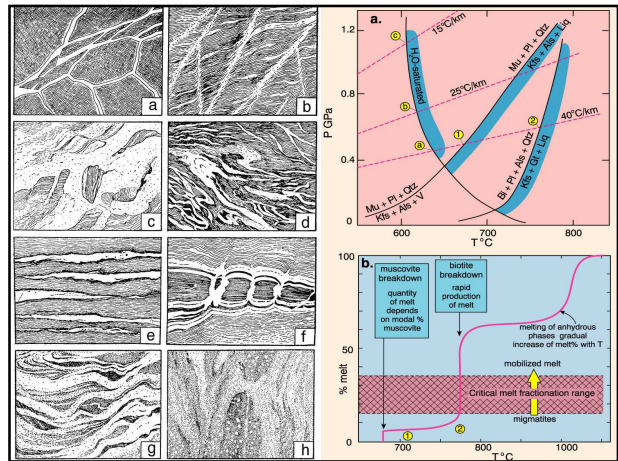


Isobaric T-f_{O2} diagram showing the location of reactions (26-13) - (26-15) used to buffer oxygen in experimental systems. After Frost (1991), *Rev. in Mineralogy*, 25, MSA, pp. 469-488.

II. Anatexis (natavení)



- proces na rozhraní magmatických a metamorfních procesů, reakce produkující novou fázi – taveninu
- začátek tavení, množství a složení taveniny závisí na: **P, T, X** (složení protolitu), **obsahu a složení fluidů** (water-saturated vs. fluid-absent)
- nejnižší T tavení – vodou nasycený granit (625°C/5 kbar)
- solidus bazických hornin za přebytku H₂O – cca 650°C (P = 6 kbar).
- při dehydratačním tavení produkovan s taveninou Kfs + Opx, Grt, As



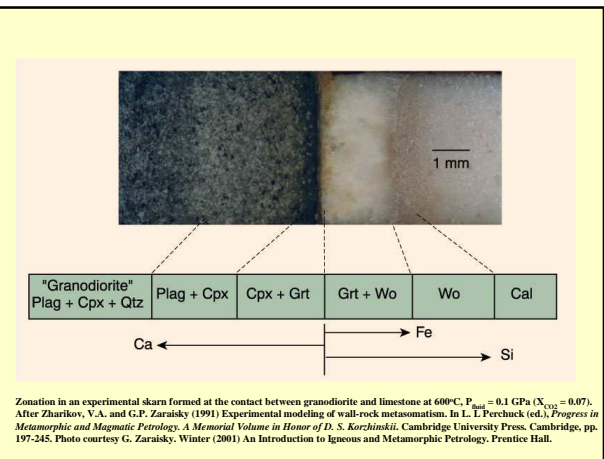
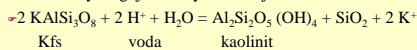
III. Metasomatóza



Petrogenetický pochod, při němž dochází k výměnným reakcím mezi látkami přinášnými z vnějších zdrojů a látkami původními.

- Výměnné reakce mezi látkami přinášnými fluidy z vnějších zdrojů (např. magma) a minerály v původní hornině.
- Postihuje: karbonátové horniny (skarny), ultrabazika (rodingity)
- Lokální rovnováhy

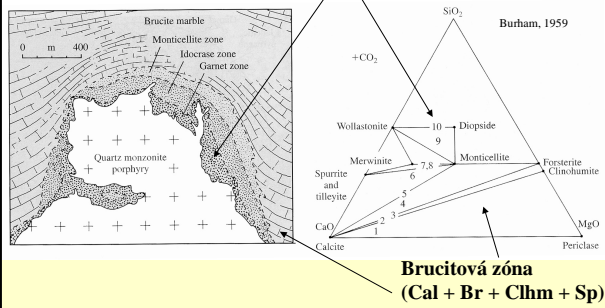
Některé minerály reagují s fluidy a vznikají nové minerální fáze



Zonation in an experimental skarn formed at the contact between granodiorite and limestone at 600°C, $P_{fluid} = 0.1$ GPa ($X_{CO_2} = 0.07$). After Zharikov, V.A. and G.P. Zaraisky (1991) Experimental modeling of wall-rock metasomatism. In L. L. Perchuck (ed.), *Progress in Metamorphic and Magmatic Petrology. A Memorial Volume in Honor of D. S. Korzhinskii*. Cambridge University Press, Cambridge, pp. 197-245. Photo courtesy G. Zaraisky, Winter (2001) *An Introduction to Igneous and Metamorphic Petrology*, Prentice Hall.

Metasomatóza

Granátová zóna (Grt + Di + Wol)



Brucitová zóna (Cal + Br + Clhm + Sp)



Literatura

- Dudek, A. - Fediuk F. - Palivcová M. (1962): Petrografické tabulky
- Hejtman, B. (1962): Petrografie metamorfovaných hornin
- Konopásek, J. - Štípská P. - Klápková H. - Schulmann K. (1998): Metamorfní petrologie
- Naprostá většina obrazového materiálu pochází z celé řady internetových stránek věnujících se metamorfní petrologii